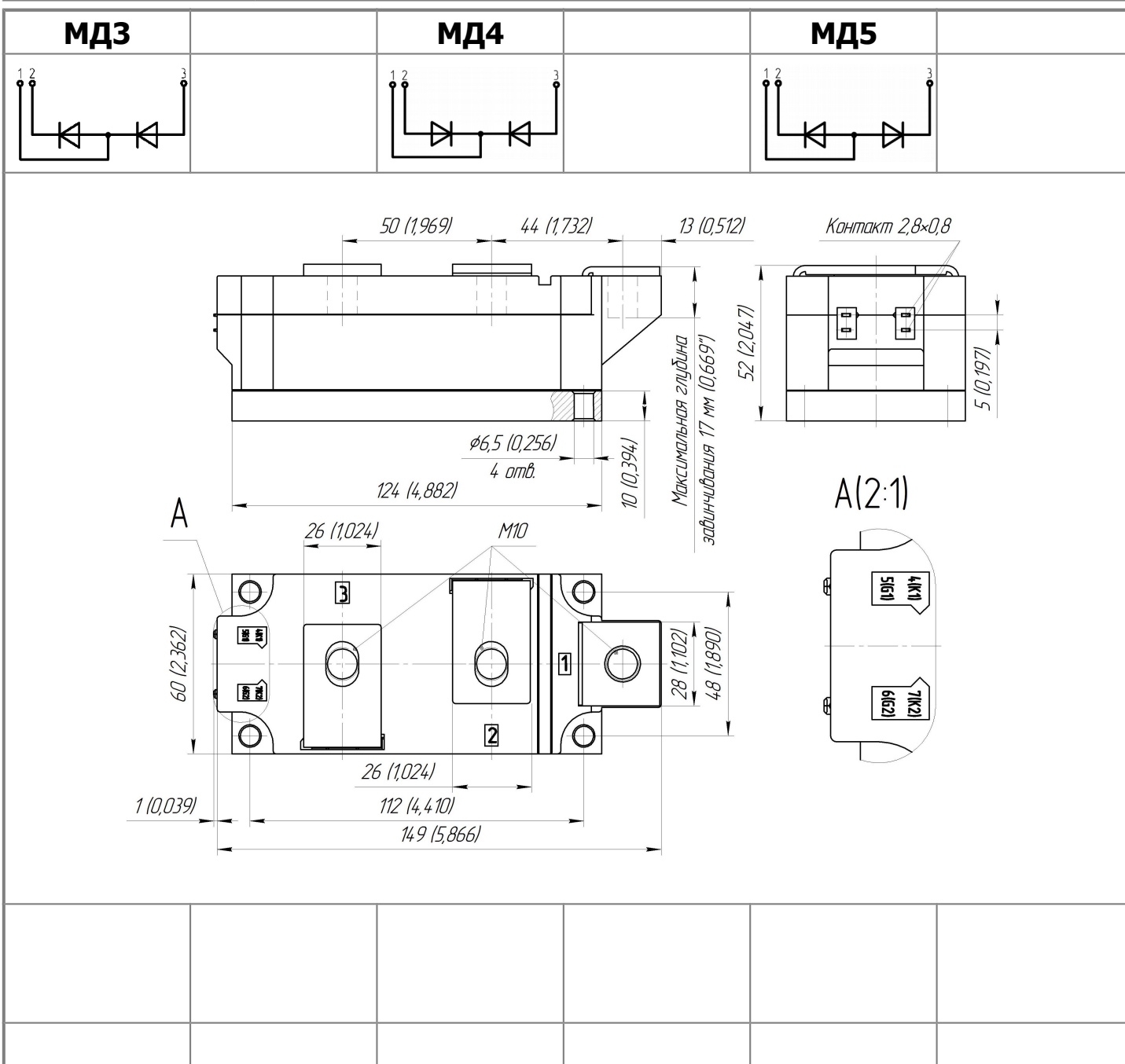




Изолированное основание
 Корпус промышленного стандарта
 Упрощенная механическая конструкция,
 быстрая сборка
 Прижимная конструкция

**Двухпозиционный
 Диодный Модуль
 МДх-580-26-А2**

Средний прямой ток	I _{FAV}	580 А		
Повторяющееся импульсное обратное напряжение	U _{RRM}	2000 ÷ 2600 В		
U _{RRM} , В	2000	2200	2400	2600
Класс по напряжению	20	22	24	26
T _j , °C		– 40 ÷ 150		



ПРЕДЕЛЬНО ДОПУСТИМЫЕ ЗНАЧЕНИЯ ПАРАМЕТРОВ

Обозначение и наименование параметра		Ед. изм.	Значение	Условия измерения	
Параметры в проводящем состоянии					
I _{FAV}	Средний прямой ток	A	580	T _c =100 °C;	
I _{FRMS}	Действующий прямой ток	A	910	180 эл. град. синус; 50 Гц	
I _{FSM}	Ударный ток	kA	14.0	T _j =T _{j max}	180 эл. град. синус;
			16.0	T _j =25 °C	t _p =10 мс; единичный импульс; U _R =0 В;
I ² t	Защитный фактор	A ² с10 ³	15.0	T _j =T _{j max}	180 эл. град. синус;
			17.0	T _j =25 °C	t _p =8.3 мс; единичный импульс; U _R =0 В;
			980	T _j =T _{j max}	180 эл. град. синус;
			1280	T _j =25 °C	t _p =10 мс; единичный импульс; U _R =0 В;
			930	T _j =T _{j max}	180 эл. град. синус;
			1195	T _j =25 °C	t _p =8.3 мс; единичный импульс; U _R =0 В;
Блокирующие параметры					
U _{RRM}	Повторяющееся импульсное обратное напряжение	V	2000÷2600	T _{j min} < T _j <T _{j max} ;	
U _{RSM}	Неповторяющееся импульсное обратное напряжение	V	2100÷2700	180 эл. град. синус; 50 Гц	
U _R	Постоянное обратное напряжение	V	0.75·U _{RRM}	T _j =T _{j max} ;	
Тепловые параметры					
T _{stg}	Температура хранения	°C	-40 ÷ 50		
T _j	Температура p-n перехода	°C	-40 ÷ 150		
Механические параметры					
a	Ускорение	m/c ²	50		

ХАРАКТЕРИСТИКИ

Обозначение и наименование характеристики		Ед. изм.	Значение	Условия измерения	
Характеристики в проводящем состоянии					
U _{FM}	Импульсное прямое напряжение, макс	V	1.50	T _j =25 °C; I _{FM} =1570 A	
U _{F(TO)}	Пороговое напряжение, макс	V	0.80	T _j =T _{j max} ;	
r _T	Динамическое сопротивление, макс	МОм	0.350	0.5 π I _{FAV} < I _T < 1.5 π I _{FAV}	
Блокирующие характеристики					
I _{RRM}	Повторяющийся импульсный обратный ток, макс	mA	50	T _j =T _{j max} ;	
Динамические характеристики					
Q _{rr}	Заряд обратного восстановления, макс	мкКл	1800	T _j =T _{j max} ; I _{TM} =500 A;	
t _{rr}	Время обратного восстановления, макс	мкс	24	di _R /dt=-10 A/мкс;	
I _{rrM}	Ток обратного восстановления, макс	A	150	U _R =100 В	

Тепловые характеристики

R _{thjc}	Тепловое сопротивление р-п переход-корпус, макс			
	на модуль	°C/Вт	0.0325	180 эл. град. синус; 50 Гц
	на позицию	°C/Вт	0.0650	
	на модуль	°C/Вт	0.0310	
	на позицию	°C/Вт	0.0620	Постоянный ток
R _{thch}	Тепловое сопротивление корпус-охладитель, макс			
	на модуль	°C/Вт	0.0100	
	на позицию	°C/Вт	0.0200	
Характеристики изоляции				
U _{ISOL}	Электрическая прочность изоляции	кВ	3.00	t=1 мин
			3.60	действующее значение t=1 с
Механические характеристики				
M ₁	Момент затяжки основания (M6) ¹⁾	Нм	6.00	Допуск ± 15%
M ₂	Момент затяжки выводов (M10) ¹⁾	Нм	12.00	Допуск ± 15%
w	Масса, тип	г	1500	

МАРКИРОВКА	ПРИМЕЧАНИЕ																				
<table border="1"> <tr> <td>МД</td><td>3</td><td>-</td><td>580</td><td>-</td><td>26</td><td>-</td><td>A2</td><td>-</td><td>У2</td> </tr> <tr> <td>1</td><td>2</td><td></td><td>3</td><td></td><td>4</td><td></td><td>5</td><td></td><td>6</td> </tr> </table>	МД	3	-	580	-	26	-	A2	-	У2	1	2		3		4		5		6	¹⁾ Резьба должна быть смазана
МД	3	-	580	-	26	-	A2	-	У2												
1	2		3		4		5		6												
1. МД – Диодный Модуль 2. Схема включения 3. Средний прямой ток, А 4. Класс по напряжению 5. Тип корпуса (M.A2) 6. Климатическое исполнение по ГОСТ 15150: У2																					



Сертифицирован UL, файл № E255404

Содержащаяся здесь информация является конфиденциальной и находится под защитой авторских прав.
 В интересах улучшения качества продукции, АО «Протон-Электротекс» оставляет за собой право изменять информационные листы без уведомления.

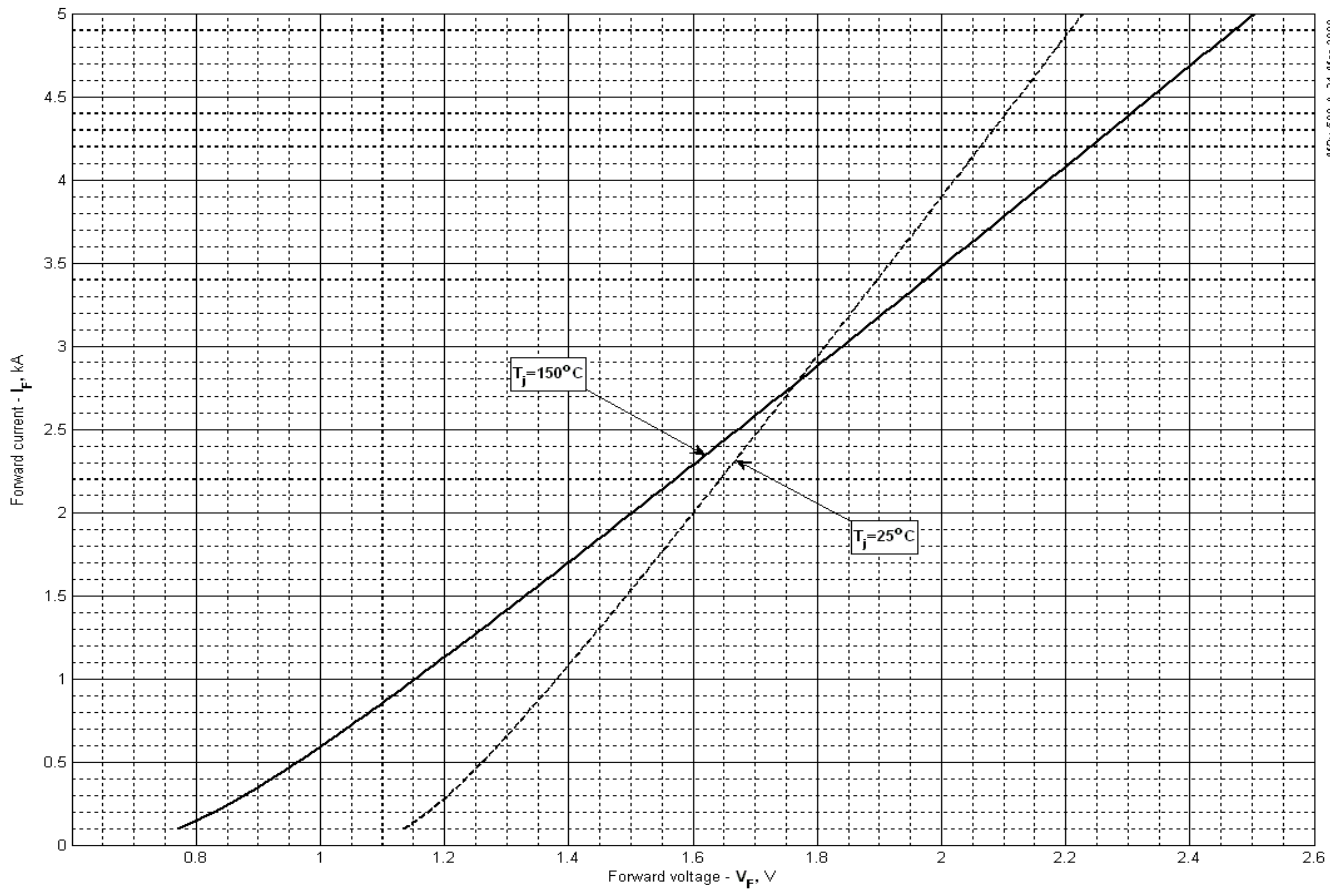


Рис. 1 – Предельная вольт – амперная характеристика

Аналитическая функция предельной вольт – амперной характеристики:

$$V_F = A + B \cdot i_F + C \cdot \ln(i_F + 1) + D \cdot \sqrt{i_F}$$

	Coefficients for max curves	
	$T_j = 25^\circ\text{C}$	$T_j = T_{j,\max}$
A	1.047101	0.642247
B	0.170326	0.278879
C	-0.153566	-0.217982
D	0.270074	0.383360

Модель предельной вольт – амперной характеристики (см. Рис. 1).

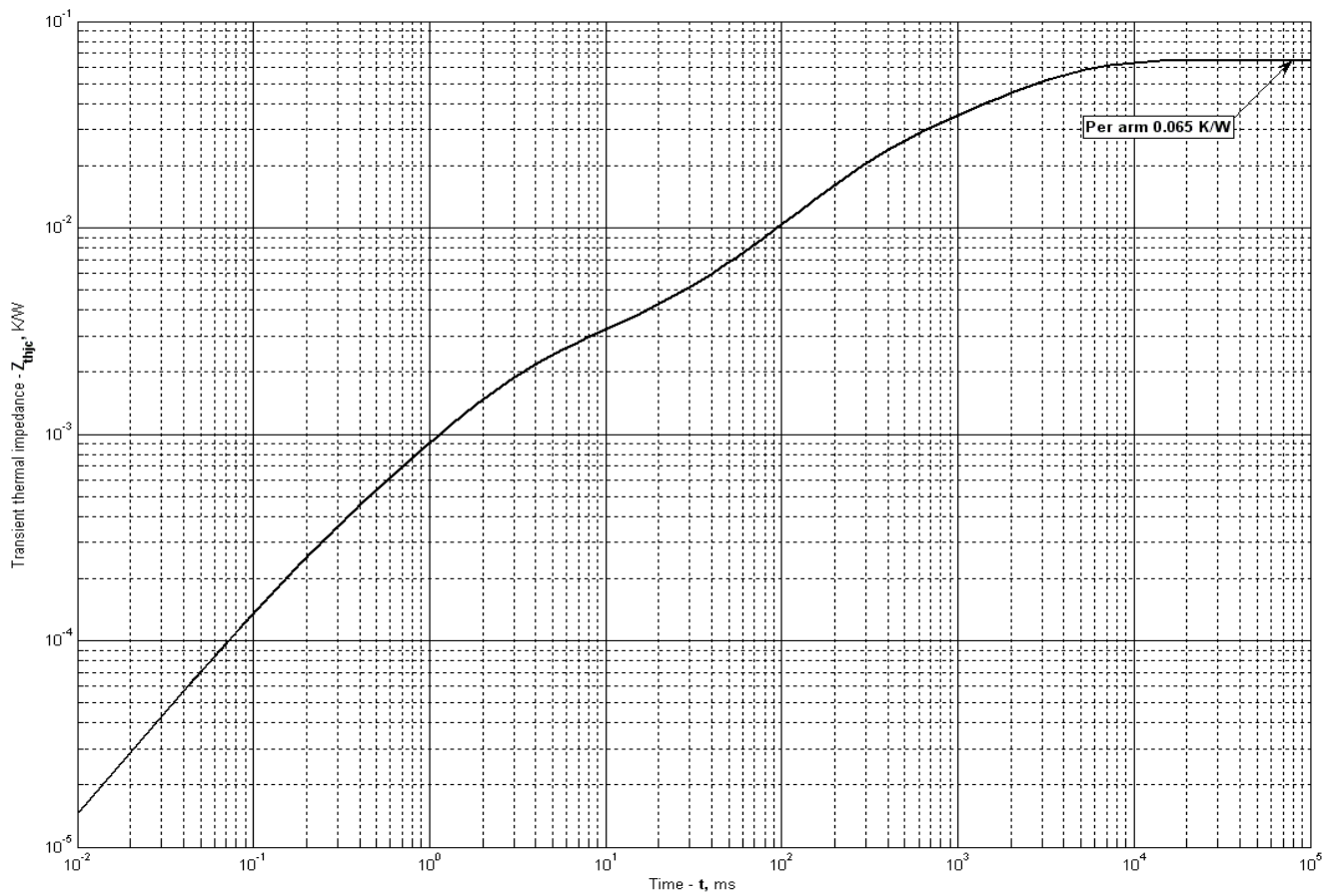


Рис. 2 – Переходное тепловое сопротивление

Аналитическая зависимость переходного теплового сопротивления переход — корпус:

$$Z_{thjc} = \sum_{i=1}^n R_i \left(1 - e^{-\frac{t}{\tau_i}} \right)$$

Где $i = 1$ до n , n – число суммирующихся элементов.

t – продолжительность импульсного нагрева в секундах.

Z_{thjc} = Тепловое сопротивление за время t .

R_i, t_i = расчетные коэффициенты, приведенные в таблице

i	1	2	3	4	5	6
$R_i, K/W$	0.0344	0.0112	0.01635	0.0006528	0.001791	0.0001363
τ_i, s	3.132	1.000	0.2335	0.01038	0.002348	0.0002448

Модель переходного теплового сопротивления переход - корпус (см. Рис. 2)

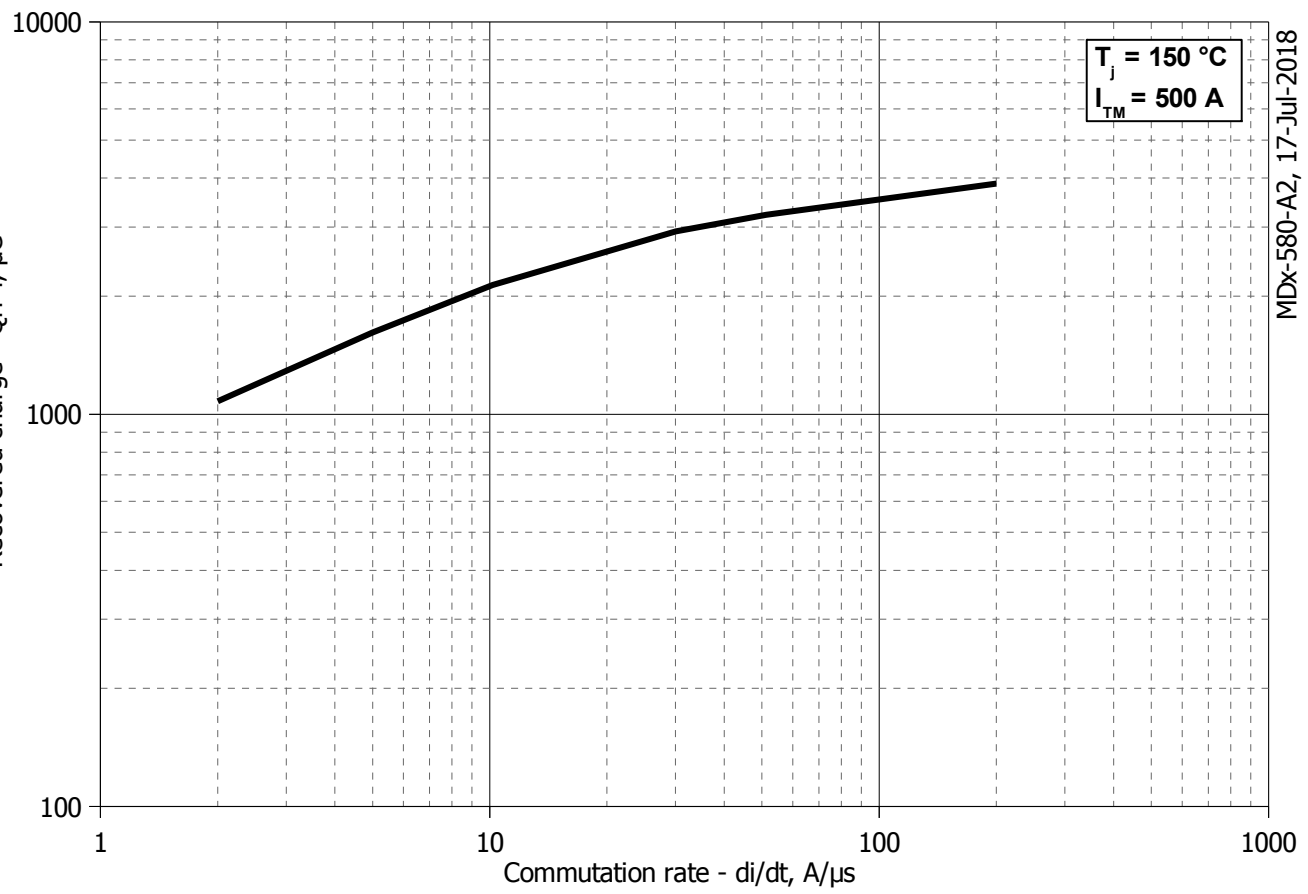


Рис. 3 – Максимальный интегральный заряд обратного восстановления, Q_{rr-i}

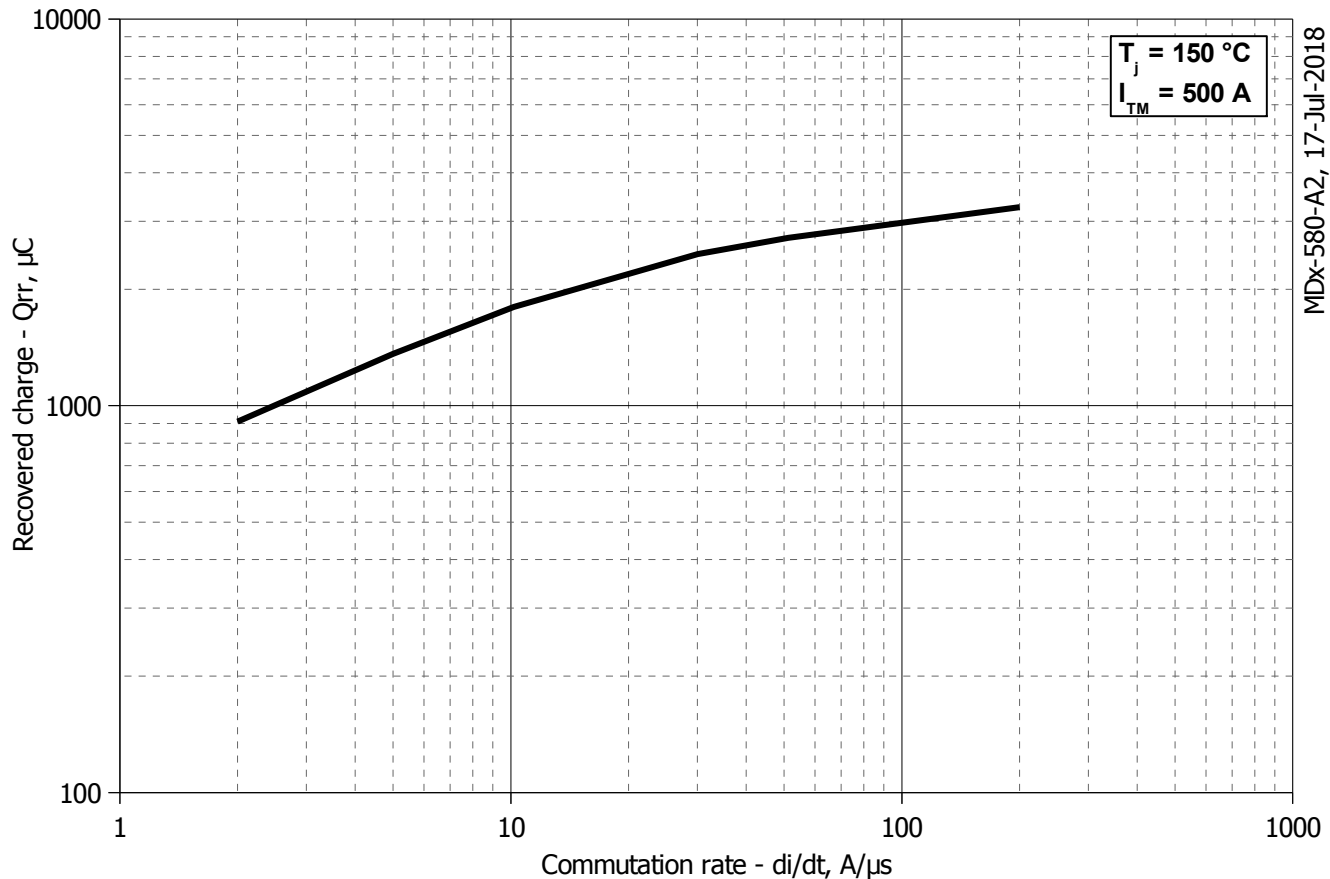


Рис. 4 – Максимальный заряд обратного восстановления, Q_{rr} (по ГОСТ 24461, хорда 25%)

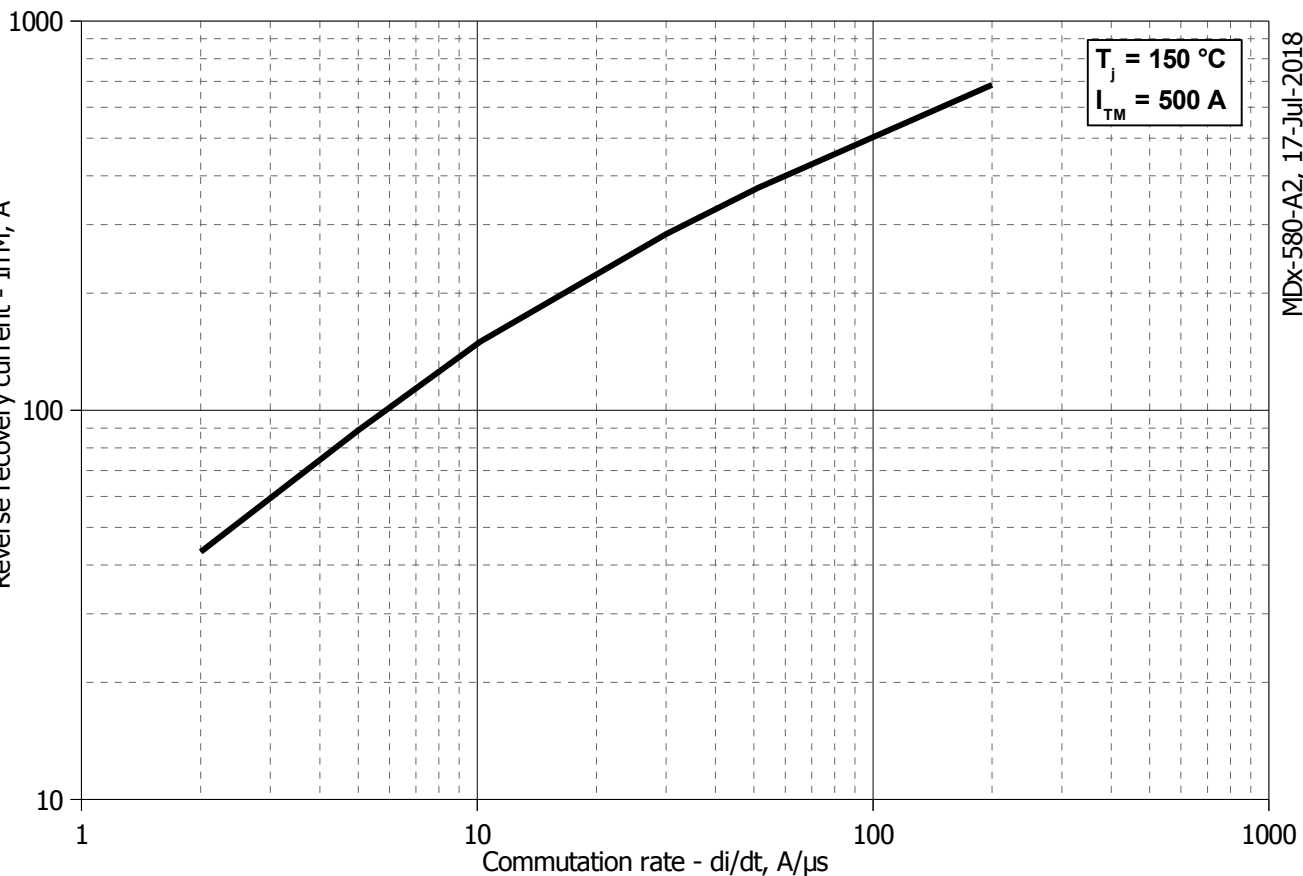


Рис. 5 - Максимальный ток обратного восстановления, I_{rrM}

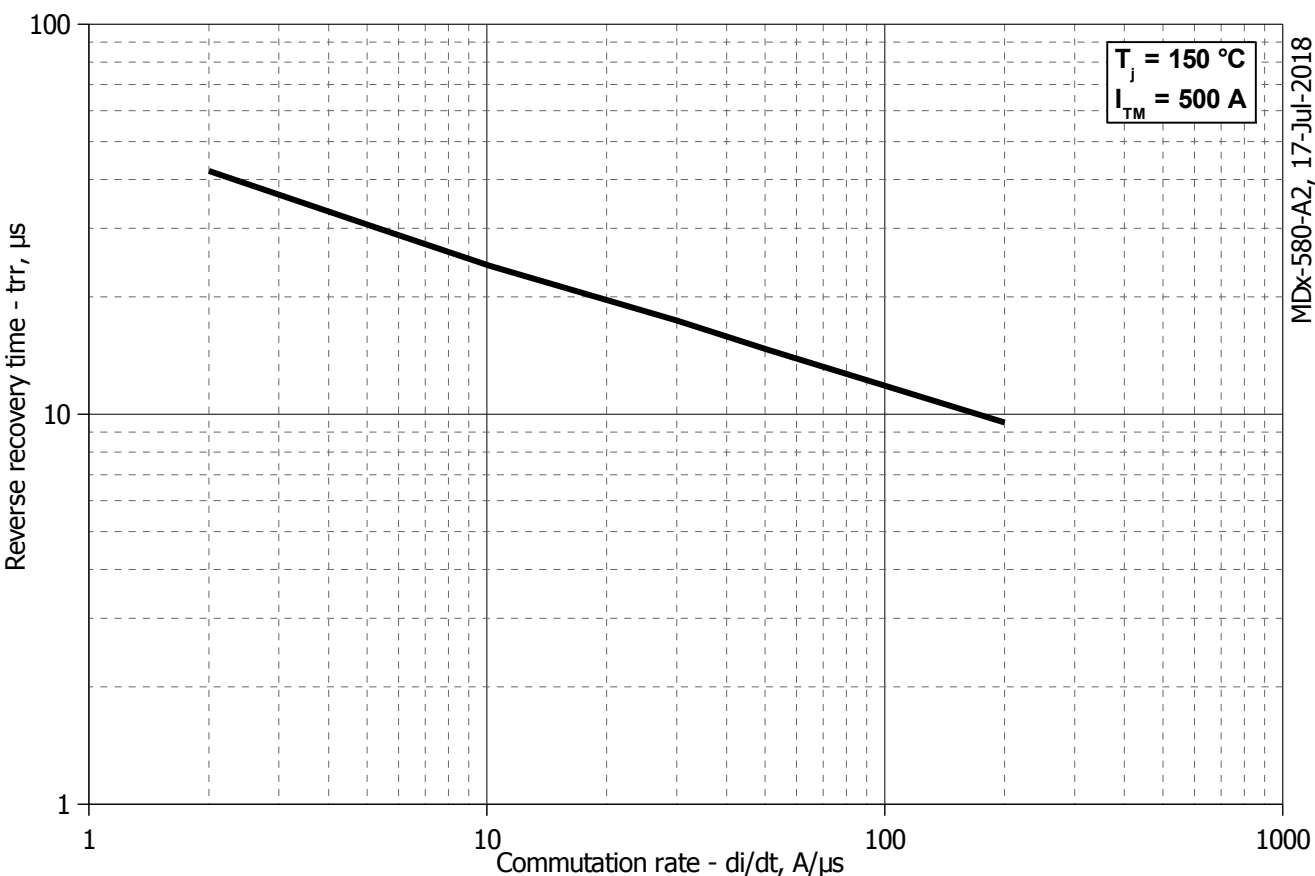


Рис. 6 - Максимальное время обратного восстановления, t_{rr} (по ГОСТ 24461, хорда 25%)

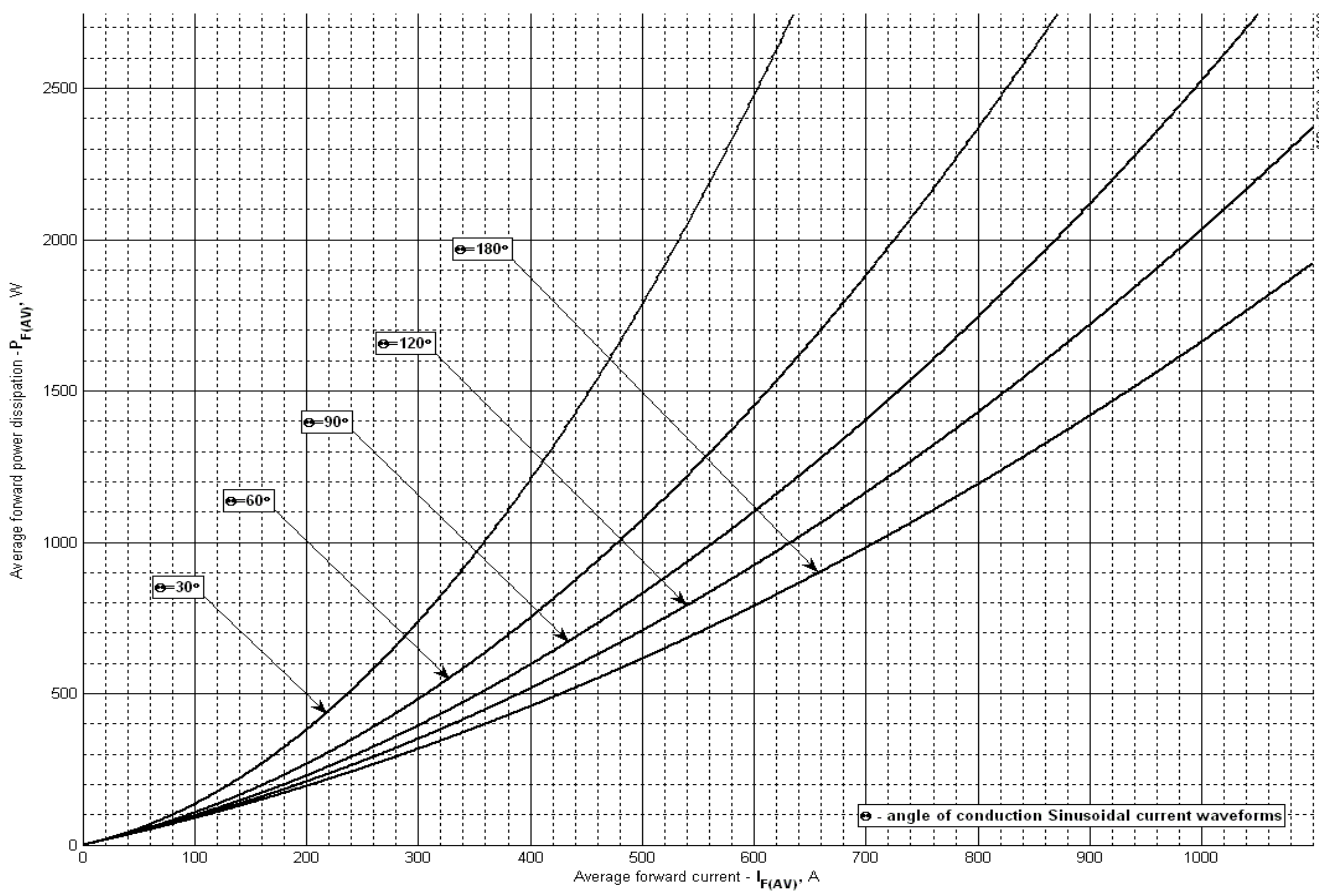


Рис. 7 - Зависимость потерь мощности $P_{FA(V)}$ от среднего прямого тока $I_{FA(V)}$ синусоидальной формы при различных углах проводимости ($f=50$ Гц, двустороннее охлаждение)

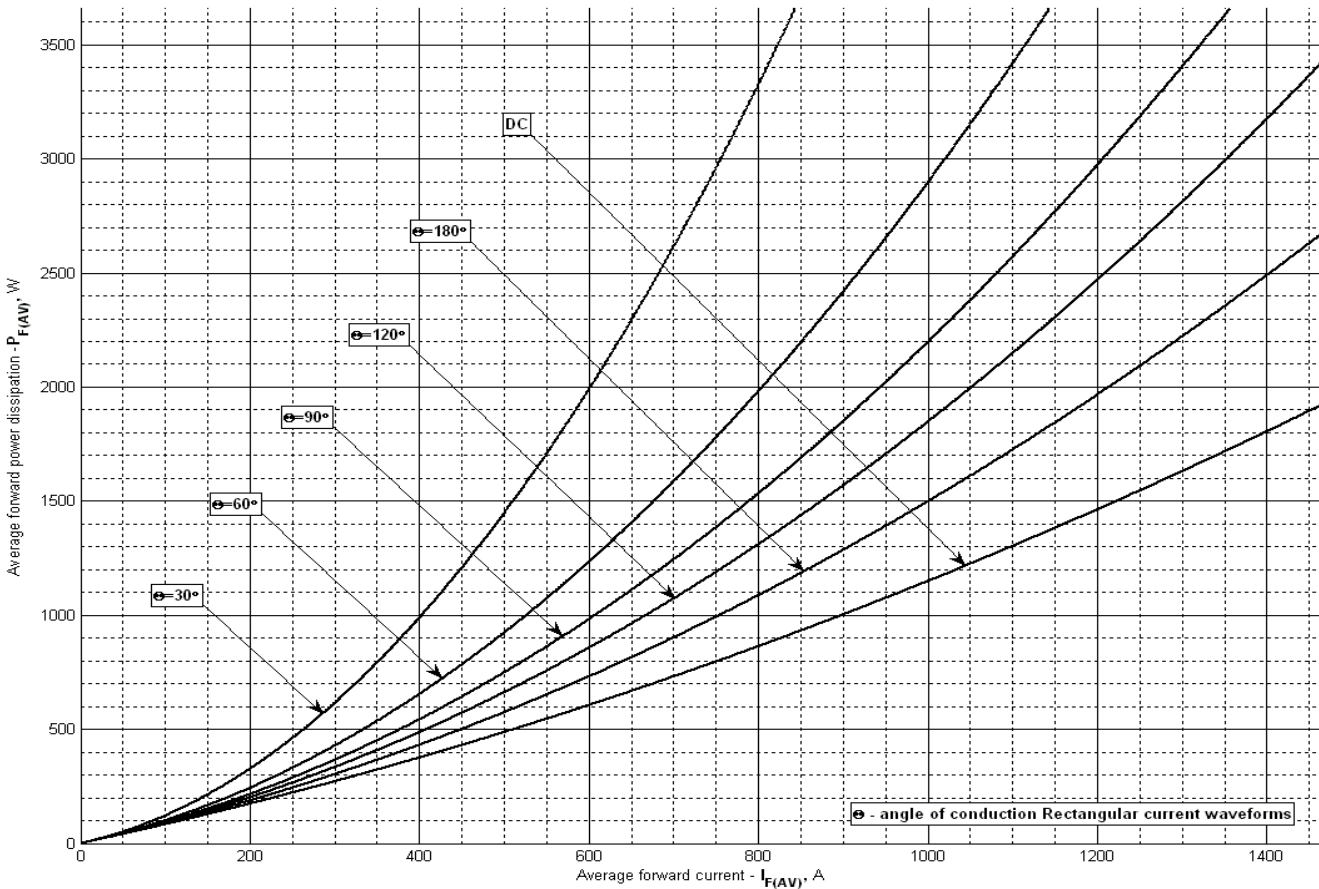


Рис. 8 – Зависимость потерь мощности $P_{FA(V)}$ от среднего прямого тока $I_{FA(V)}$ прямоугольной формы при различных углах проводимости ($f=50$ Гц, двустороннее охлаждение)

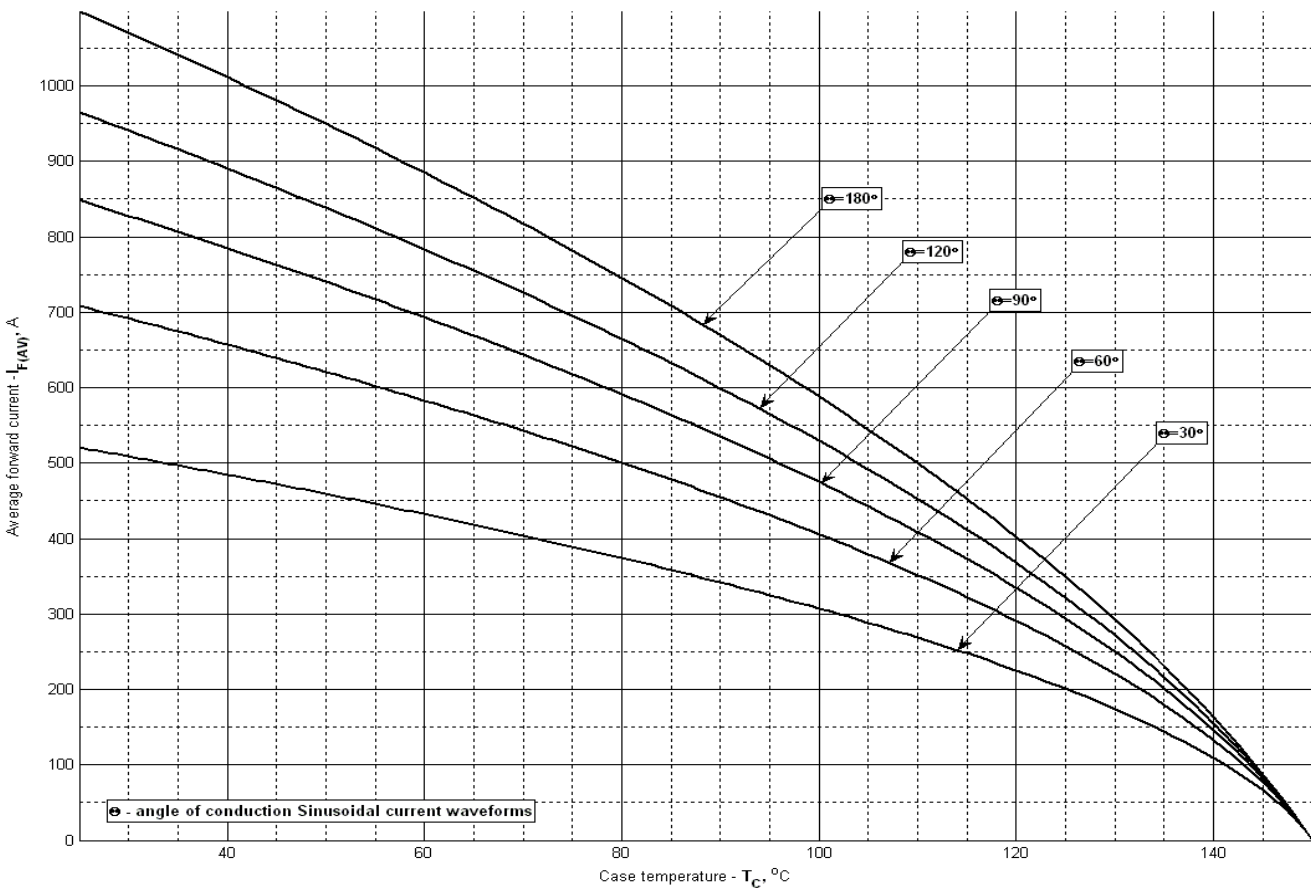


Рис. 9 – Зависимость среднего прямого тока I_{FAV} от температуры корпуса T_c для синусоидальной формы тока при различных углах проводимости ($f=50$ Гц, Двустороннее охлаждение)

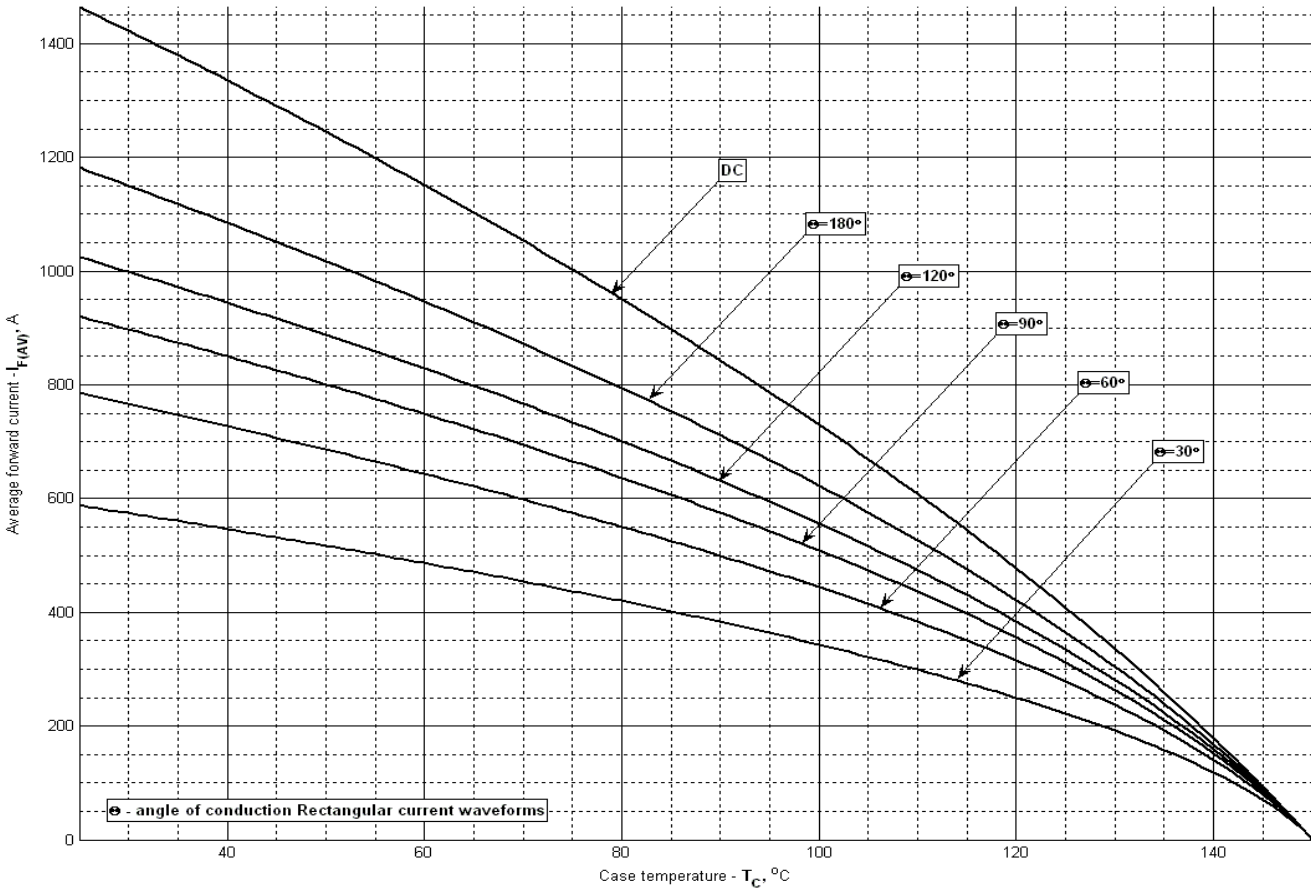


Рис. 10 - Зависимость среднего прямого тока I_{FAV} от температуры корпуса T_c для прямоугольной формы тока при различных углах проводимости ($f=50$ Гц, Двустороннее охлаждение)

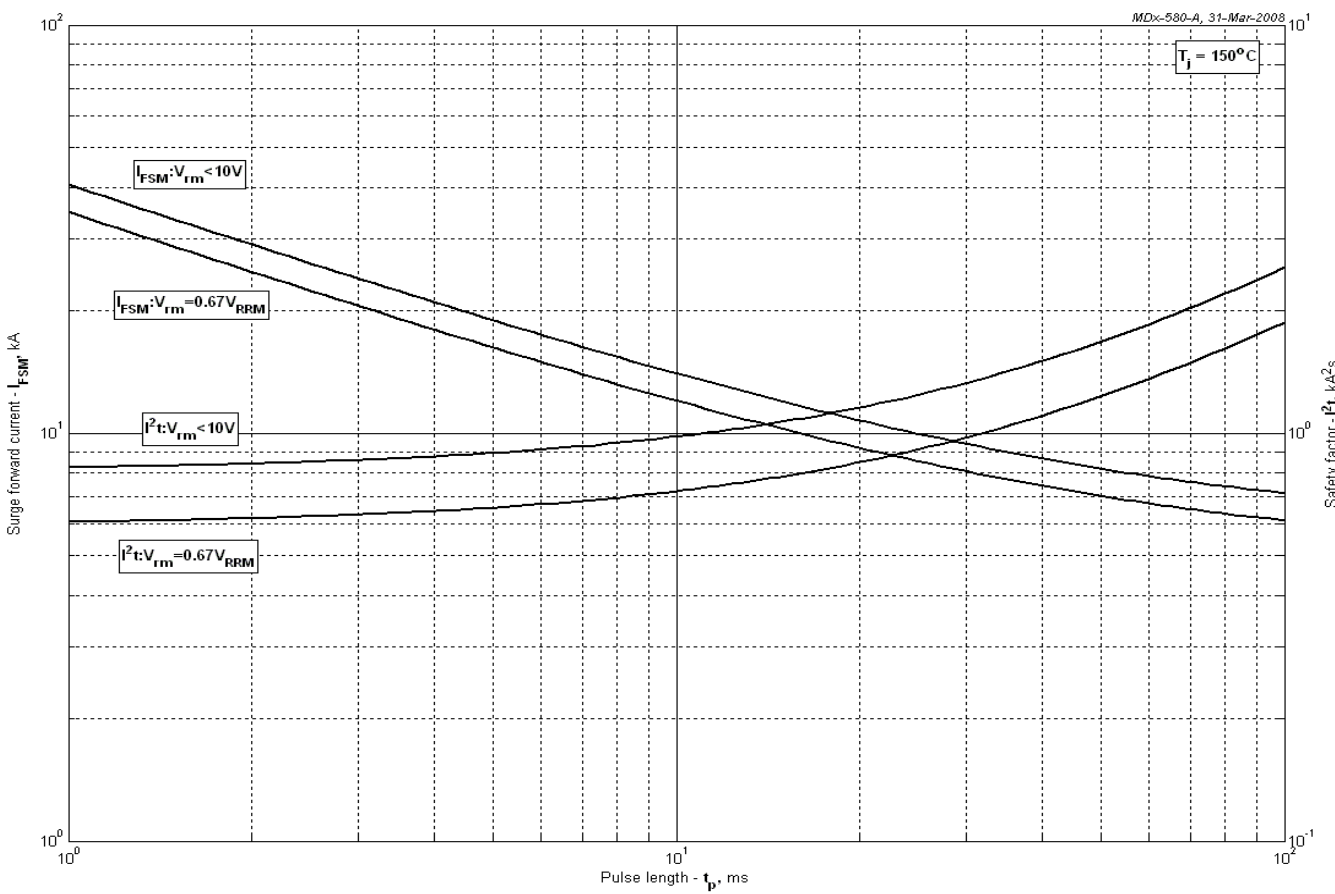


Рис. 11 – Максимальные ударные и $I^2 t$ характеристики

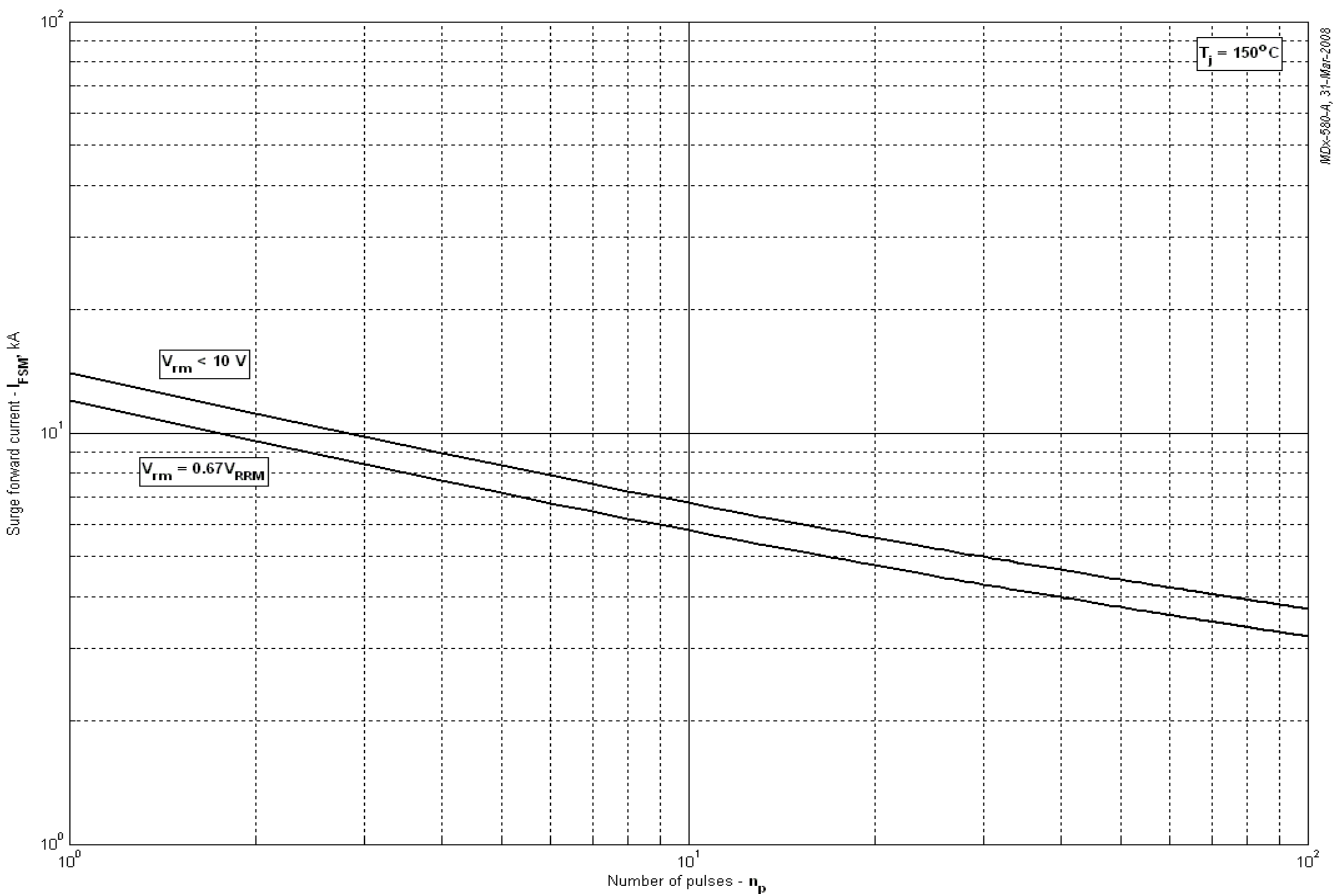


Рис. 12 - Максимальные ударные характеристики